

EUF

**Exame Unificado
das Pós-graduações em Física**

Para o primeiro semestre de 2015

14 outubro 2014

Parte 1

InSTRUÇÕES

- **Não escreva seu nome na prova.**

Ela deverá ser identificada apenas através do código (**EUFxxx**).

- Esta prova contém problemas de:

eletromagnetismo, física moderna e termodinâmica.
Todas as questões têm o mesmo peso.

- O tempo de duração desta prova é de **4 horas**.

O tempo mínimo de permanência na sala é de 60 minutos.

- Não é permitido o uso de calculadoras ou outros instrumentos eletrônicos.

- **Resolva cada questão na página correspondente do caderno de respostas.**

As folhas serão reorganizadas para a correção. Se precisar de mais espaço, utilize as folhas extras do caderno de respostas. Não esqueça de escrever nas folhas extras o número da questão (Q_x) e o seu código de identificação (**EUFxxx**). Folhas extras sem essas informações não serão corrigidas. Use uma folha extra diferente para cada questão. Não destaque a folha extra.

- Se precisar de rascunho, use as folhas identificadas como **rascunho**, que se encontram no fim do caderno de respostas. Não as destaque. As folhas de rascunho serão descartadas e questões nelas resolvidas não serão consideradas.

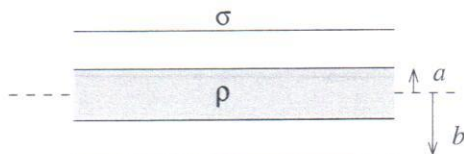
- Não escreva nada no formulário.

Devolva-o ao fim da prova, pois será utilizado na prova de amanhã.

Boa prova!

- Q1. a) Um cilíndrico dielétrico maciço, de comprimento infinito e raio a , possui uma densidade de carga volumétrica uniforme e positiva ρ . Uma casca cilíndrica, também dielétrica, de raio $b > a$, com eixo comum ao cilindro, tem uma densidade de carga superficial uniforme e negativa σ , de forma que a carga total do cilíndro mais casca, em certo comprimento, é zero, e portanto $\sigma = -\rho a^2/2b$. Calcule o campo elétrico $\vec{E}(r)$ para as regiões $r < a$, $a < r < b$ e $b < r$ sendo r a distância ao eixo do cilindro.

b) Considere em seguida que o conjunto cilindro mais casca se move para a direita com velocidade \vec{v} . O movimento dá origem a uma corrente elétrica $I = \pi a^2 \rho v$ no cilindro maciço, para a direita e uniformemente distribuída na seção reta, de forma que a densidade de corrente fica sendo dada por $\vec{J} = \rho \vec{v}$. Da mesma forma, a casca em movimento dá origem a uma corrente de mesma intensidade I , mas em sentido contrário (para a esquerda). Calcule a indução magnética \vec{B} para as regiões $r < a$, $a < r < b$ e $b < r$.



- Q2. O campo elétrico de uma onda plana monocromática no vácuo é dado por

$$\vec{E}(z,t) = (E_1 \hat{x} + E_2 \hat{y}) e^{i(kz - \omega t)}.$$

onde \hat{x} e \hat{y} são versores cartesianos nas direções x e y , respectivamente, e E_1 e E_2 são constantes.

- a) Encontre a indução magnética $\vec{B}(z,t)$.
- b) Mostre que o campo elétrico e a indução magnética são ortogonais entre si.
- c) Encontre o vetor de Poynting da onda.

- Q3. Considere um gás de moléculas diatônicas com frequência de oscilação ω e momento de inércia I . À temperatura ambiente, as energias dos estados moleculares vibracionais são muito maiores do que $k_B T$. Portanto, a maioria das moléculas se encontra no estado vibracional de menor energia. Por outro lado, a energia característica dos estados rotacionais é muito menor do que $k_B T$. A energia rotacional-vibracional $E(n,\ell)$ do estado de uma molécula diatônica é caracterizada pelo número quântico n , para a energia vibracional, e pelo número quântico ℓ , para a energia rotacional.

- a) Escreva $E(n,\ell)$ para $n = 0$ e ℓ qualquer.
- b) Suponha que uma molécula sofra uma transição de um estado inicial com $n = 0$ e ℓ qualquer para um estado excitado com $n = 1$. Determine as duas energias totais permitidas para a molécula após a transição, lembrando que a regra de seleção impõe $\Delta\ell = \pm 1$. Calcule a diferença de energia entre esses dois estados permitidos e o estado inicial, bem como as respectivas frequências de transição.
- c) Considere o estado da molécula no qual $n = 0$ e ℓ qualquer. Sabendo que a degenerescência do estado é $2\ell + 1$, determine a população do estado rotacional-vibracional, $N(E)$, como função de E , a partir da distribuição de Boltzmann.

- d) Para $n = 0$, o estado $\ell = 0$ não é o estado mais populado à temperatura ambiente. Para pequenos valores de ℓ , a população do estado aumenta ligeiramente em relação a $\ell = 0$ por causa do aumento da densidade de estados. Para grandes valores de ℓ , a população diminui por causa do fator de Boltzmann. Determine o valor de ℓ para o qual a população é máxima.

Q4. Suponha que um fóton encontre um elétron que está inicialmente em repouso no referencial S, como na figura 1A. Na maioria das vezes, o fóton é simplesmente desviado da trajetória original, mas, ocasionalmente, o evento resulta no desaparecimento do fóton e na criação de um par elétron-pósitron, na presença do elétron original. Suponha que os detalhes da interação que produziu o par sejam tais que as três partículas resultantes se movam para direita, como na figura 1B, com a mesma velocidade u , isto é, que estejam todas em repouso no referencial S', que está se movendo para a direita com velocidade u em relação a S.

- Escreva as leis de conservação de energia e momento antes e depois da criação do par.
- Usando a conservação da energia-momento no caso relativístico, obtenha no sistema S' a energia do fóton para que seja criado um par de partículas com energia equivalente à energia de repouso de 2 elétrons.
- Utilize a relação $m_0^2 c^4 = E^2 - p^2 c^2$ para obter a relação $u/c = pc/E$.
- Determine a partir do item (c) a velocidade u com a qual as três partículas se movem no referencial S.

(A)



(B)

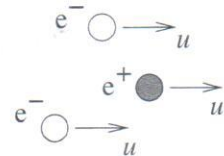


Figura 1: (A) Situação anterior à colisão, no referencial S. (B) Situação após a colisão, no referencial S'.

Q5. Um gás ideal contido num recipiente, inicialmente com volume V_A e pressão p_A (estado A), sofre expansão isobárica até atingir o volume V_B (estado B). O gás sofre então uma expansão adiabática, até que sua pressão seja p_C (estado C), de forma que uma contração isobárica (até o estado D) seguida de uma compressão adiabática levem o gás novamente à situação inicial (estado A). Considere dada a razão γ entre os calores específicos do gás a pressão constante e a volume constante.

- Represente as transformações descritas acima em um diagrama $p-V$, indicando os estados A, B, C e D.
- Calcule o calor trocado em cada trecho do ciclo, em termos de p_A , V_A , V_B , p_C e γ .
- Determine a eficiência do ciclo, isto é, a razão entre o trabalho realizado pelo gás e o calor absorvido por ele.

EUF

**Exame Unificado
das Pós-graduações em Física**

Para o primeiro semestre de 2015

15 outubro 2014

Parte 2

InSTRUÇÕES

- **Não escreva seu nome na prova.**

Ela deverá ser identificada apenas através do código (**EUFxxx**).

- Esta prova contém problemas de:

mecânica clássica, mecânica quântica e mecânica estatística.

Todas as questões têm o mesmo peso.

- O tempo de duração desta prova é de **4 horas**.

O tempo mínimo de permanência na sala é de 60 minutos.

- Não é permitido o uso de calculadoras ou outros instrumentos eletrônicos.

- **Resolva cada questão na página correspondente do caderno de respostas.**

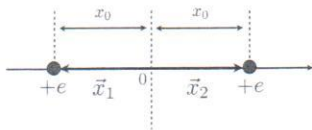
As folhas serão reorganizadas para a correção. Se precisar de mais espaço, utilize as folhas extras do caderno de respostas. Não esqueça de escrever nas folhas extras o número da questão (Q_x) e o seu código de identificação (**EUFxxx**). Folhas extras sem essas informações não serão corrigidas. Use uma folha extra diferente para cada questão. Não destaque a folha extra.

- Se precisar de rascunho, use as folhas identificadas como **rascunho**, que se encontram no fim do caderno de respostas. Não as destaque. As folhas de rascunho serão descartadas e questões nelas resolvidas não serão consideradas.

- Não é necessário devolver o formulário.

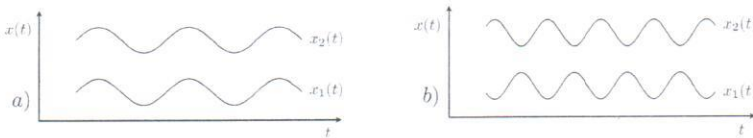
Boa prova!

- Q6.** É possível construir armadilhas capazes de confinar íons de massa m e carga q . Em particular, a armadilha pode restringir o movimento dos íons a apenas uma dada direção espacial, x . Assim, considere dois íons de cálcio uma vez ionizado (Ca^+), submetidos a um potencial confinante externo harmônico $U(x) = m\omega^2 x^2/2$. Esses íons interagem adicionalmente através da repulsão coulombiana.



onde x_1 e x_2 são as posições dos íons de cálcio e, por simplicidade, foi definido: $e^2 = q^2/(4\pi\varepsilon_0)$. A figura acima define um sistema de coordenadas conveniente e representa os íons na posição de equilíbrio em que $-x_1 = x_2 = x_0$. O objetivo deste problema é estudar os modos normais dessa cadeia unidimensional constituída pelos dois íons de cálcio.

- Obtenha a posição de equilíbrio x_0 em termos de e , m e ω .
- Escreva as equações de Newton para o movimento de cada íon e obtenha a frequência de oscilação do sistema quando a separação entre os íons for constante. Este é o primeiro modo normal de oscilação dessa cadeia.
- O segundo modo normal corresponde a um movimento antissimétrico dos íons, em cujo caso o centro de massa está parado em $x = 0$. Obtenha esse segundo modo normal no limite de pequenas oscilações. Obtenha a razão entre as frequências dos dois modos normais de oscilação do sistema.
- As figuras a) e b) abaixo representam os modos normais de oscilação desse sistema de dois íons. Identifique o primeiro e o segundo modo normal obtidos, respectivamente, nos itens b e c acima. Qual deles tem menor energia?



- Q7.** Um satélite artificial de massa m está em órbita elíptica em torno da Terra. Admita que a Terra seja uma esfera de densidade uniforme com raio R e massa M , e denote por G a constante de gravitação universal. Considere conhecidos d e D , as distâncias entre o centro da Terra e o satélite nos pontos de menor e maior afastamento, respectivamente. Uma partícula de massa m_0 menor do que m , choca-se centralmente e de forma completamente inelástica com o satélite no ponto de menor afastamento da Terra. No instante da colisão, o satélite e a partícula tinham velocidades iguais em módulo, mas com sentidos opostos.

- Obtenha a velocidade v_S do sistema satélite-partícula *imediatamente após* a colisão em termos de v_p , a velocidade no ponto de menor afastamento.
- Expresse o momento angular do satélite nos pontos de mínimo e máximo afastamento em termos de v_p e de v_a (a velocidade no ponto de maior afastamento), respectivamente, antes da colisão.
- Obtenha a velocidade v_p , antes da colisão, em termos de M , d , D e G .

- d) Obtenha a energia E_S e o momento angular L_S do sistema satélite-partícula, depois da colisão, em termos de m_0 e das grandezas que caracterizam o movimento do satélite antes da colisão.

Q8. Seja o estado do spin de um elétron dado por

$$|\psi\rangle = \alpha \left(|z_+\rangle - \frac{\sqrt{2}}{2} |z_-\rangle \right)$$

$$|z_+\rangle = \begin{pmatrix} 1 \\ 0 \end{pmatrix}, \quad |z_-\rangle = \begin{pmatrix} 0 \\ 1 \end{pmatrix}.$$

Lembrando que os operadores de spin \hat{S}_x , \hat{S}_y , \hat{S}_z podem ser escritos em termos das matrizes de Pauli como $\hat{\mathbf{S}} = \hbar \vec{\sigma}/2$ (veja formulário), onde

$$\begin{aligned} \hat{S}_x|x_+\rangle &= +\frac{\hbar}{2}|x_+\rangle, & \hat{S}_x|x_-\rangle &= -\frac{\hbar}{2}|x_-\rangle, \\ \hat{S}_y|y_+\rangle &= +\frac{\hbar}{2}|y_+\rangle, & \hat{S}_y|y_-\rangle &= -\frac{\hbar}{2}|y_-\rangle, \\ \hat{S}_z|z_+\rangle &= +\frac{\hbar}{2}|z_+\rangle, & \hat{S}_z|z_-\rangle &= -\frac{\hbar}{2}|z_-\rangle, \end{aligned}$$

- a) Qual é o valor de $\alpha \in \mathbb{R}$ para que $|\psi\rangle$ fique normalizado?
- b) Qual é a probabilidade de se medir $-\hbar/2$ para o spin na direção z ?
- c) Qual é a probabilidade de se medir $+\hbar/2$ para o spin na direção x ?
- d) Qual é o valor esperado do spin no plano $y = 0$ em uma direção de 45° entre os eixos x e z ?

Q9. Seja o operador \hat{A} associado a um certo observável físico A de um sistema satisfazendo $[\hat{A}, \hat{H}] \neq 0$, onde \hat{H} é um operador hamiltoniano independente do tempo. Sejam agora os autovetores normalizados, ϕ_+ , ϕ_- , e autovalores correspondentes, a_+ , a_- ($a_+ \neq a_-$) de \hat{A} :

$$\hat{A}\phi_+ = a_+\phi_+, \quad \hat{A}\phi_- = a_-\phi_-,$$

com

$$\phi_+ = \frac{u_+ + u_-}{\sqrt{2}}, \quad \phi_- = \frac{u_+ - u_-}{\sqrt{2}}$$

onde

$$\hat{H}u_+ = E_+u_+, \quad \hat{H}u_- = E_-u_-$$

- a) Calcule o valor esperado de \hat{A} no estado ϕ_+ .
- b) Calcule a projeção de $\hat{H}u_+$ no estado u_- .
- c) Admitindo que o sistema esteja inicialmente em um estado arbitrário, $\psi(0)$ escreva quanto valerá o estado $\psi(t)$ em um instante posterior como função de \hat{H} .
- d) Calcule o valor esperado do observável A no instante $t = \hbar\pi/[3(E_+ - E_-)]$ admitindo que o sistema esteja inicialmente no estado $\psi(0) = \phi_+$ e $E_+ \neq E_-$.

Q10. Considere N osciladores harmônicos tridimensionais clássicos não-interagentes, de massa m e frequência angular ω , em contato com um reservatório térmico à temperatura T .

- a) Escreva a hamiltoniana do sistema e obtenha a função de partição canônica.
- b) Obtenha o valor médio da energia por oscilador. Qual a capacidade térmica do sistema?

EUF

**Exame Unificado
das Pós-graduações em Física**

Para o primeiro semestre de 2015

14-15 outubro 2014

FORMULÁRIO

Não escreva nada neste formulário. Devolva-o ao fim do primeiro dia de prova.

Constantes físicas

Velocidade da luz no vácuo	$c = 3,00 \times 10^8 \text{ m/s}$
Constante de Planck	$h = 6,63 \times 10^{-34} \text{ Js} = 4,14 \times 10^{-15} \text{ eV s}$
Constante de Wien	$hc = 1240 \text{ eV nm}$
Permeabilidade magnética do vácuo	$W = 2,898 \times 10^{-3} \text{ m K}$
Permissividade elétrica do vácuo	$\mu_0 = 4\pi \times 10^{-7} \text{ N/A}^2 = 12,6 \times 10^{-7} \text{ N/A}^2$
	$\epsilon_0 = \frac{1}{\mu_0 c^2} = 8,85 \times 10^{-12} \text{ F/m}$
	$\frac{1}{4\pi\epsilon_0} = 8,99 \times 10^9 \text{ Nm}^2/\text{C}^2$
Constante gravitacional	$G = 6,67 \times 10^{-11} \text{ N m}^2/\text{kg}^2$
Carga elementar	$e = 1,60 \times 10^{-19} \text{ C}$
Massa do elétron	$m_e = 9,11 \times 10^{-31} \text{ kg} = 511 \text{ keV/c}^2$
Comprimento de onda Compton	$\lambda_C = 2,43 \times 10^{-12} \text{ m}$
Massa do próton	$m_p = 1,673 \times 10^{-27} \text{ kg} = 938 \text{ MeV/c}^2$
Massa do nêutron	$m_n = 1,675 \times 10^{-27} \text{ kg} = 940 \text{ MeV/c}^2$
Massa do déuteron	$m_d = 3,344 \times 10^{-27} \text{ kg} = 1,876 \text{ MeV/c}^2$
Massa da partícula α	$m_\alpha = 6,645 \times 10^{-27} \text{ kg} = 3,727 \text{ MeV/c}^2$
Constante de Rydberg	$R_H = 1,10 \times 10^7 \text{ m}^{-1}, \quad R_H hc = 13,6 \text{ eV}$
Raio de Bohr	$a_0 = 5,29 \times 10^{-11} \text{ m}$
Constante de Avogadro	$N_A = 6,02 \times 10^{23} \text{ mol}^{-1}$
Constante de Boltzmann	$k_B = 1,38 \times 10^{-23} \text{ J/K} = 8,62 \times 10^{-5} \text{ eV/K}$
Constante universal dos gases	$R = 8,31 \text{ J mol}^{-1} \text{ K}^{-1}$
Constante de Stefan-Boltzmann	$\sigma = 5,67 \times 10^{-8} \text{ W m}^{-2} \text{ K}^{-4}$

Raio do Sol	=	$6,96 \times 10^8 \text{ m}$	Massa do Sol	=	$1,99 \times 10^{30} \text{ kg}$
Raio da Terra	=	$6,37 \times 10^6 \text{ m}$	Massa da Terra	=	$5,98 \times 10^{24} \text{ kg}$
Distância Sol-Terra	=	$1,50 \times 10^{11} \text{ m}$			

$$1 \text{ J} = 10^7 \text{ erg} \quad 1 \text{ eV} = 1,60 \times 10^{-19} \text{ J}$$

Constantes numéricas

$\pi \cong 3,142$	$\ln 2 \cong 0,693$	$\cos(30^\circ) = \sin(60^\circ) = \sqrt{3}/2 \cong 0,866$
$e \cong 2,718$	$\ln 3 \cong 1,099$	$\sin(30^\circ) = \cos(60^\circ) = 1/2$
$1/e \cong 0,368$	$\ln 5 \cong 1,609$	
$\log_{10} e \cong 0,434$	$\ln 10 \cong 2,303$	

Mecânica Clássica

$$\mathbf{L} = \mathbf{r} \times \mathbf{p} \quad \frac{d\mathbf{L}}{dt} = \mathbf{r} \times \mathbf{F} \quad L_i = \sum_j I_{ij}\omega_j \quad T_R = \sum_{ij} \frac{1}{2} I_{ij}\omega_i\omega_j \quad I = \int r^2 dm$$

$$\mathbf{r} = r\hat{\mathbf{e}}_r \quad \mathbf{v} = \dot{r}\hat{\mathbf{e}}_r + r\dot{\theta}\hat{\mathbf{e}}_\theta \quad \mathbf{a} = (\ddot{r} - r\dot{\theta}^2)\hat{\mathbf{e}}_r + (r\ddot{\theta} + 2\dot{r}\dot{\theta})\hat{\mathbf{e}}_\theta$$

$$\mathbf{r} = \rho\hat{\mathbf{e}}_\rho + z\hat{\mathbf{e}}_z \quad \mathbf{v} = \dot{\rho}\hat{\mathbf{e}}_\rho + \rho\dot{\varphi}\hat{\mathbf{e}}_\varphi + \dot{z}\hat{\mathbf{e}}_z \quad \mathbf{a} = (\ddot{\rho} - \rho\dot{\varphi}^2)\hat{\mathbf{e}}_\rho + (\rho\ddot{\varphi} + 2\dot{\rho}\dot{\varphi})\hat{\mathbf{e}}_\varphi + \ddot{z}\hat{\mathbf{e}}_z$$

$$\mathbf{r} = r\hat{\mathbf{e}}_r \quad \mathbf{v} = \dot{r}\hat{\mathbf{e}}_r + r\dot{\theta}\hat{\mathbf{e}}_\theta + r\dot{\varphi}\sin\theta\hat{\mathbf{e}}_\varphi \quad \mathbf{a} = (\ddot{r} - r\dot{\theta}^2 - r\dot{\varphi}^2\sin^2\theta)\hat{\mathbf{e}}_r + (\ddot{r}\dot{\theta} + 2\dot{r}\dot{\varphi} - r\dot{\varphi}^2\sin\theta\cos\theta)\hat{\mathbf{e}}_\theta + (r\ddot{\varphi}\sin\theta + 2\dot{r}\dot{\varphi}\sin\theta + 2r\dot{\theta}\dot{\varphi}\cos\theta)\hat{\mathbf{e}}_\varphi$$

$$E = \frac{1}{2}m\dot{r}^2 + \frac{L^2}{2mr^2} + V(r) \quad V(r) = - \int_{r_0}^r F(r')dr' \quad V_{\text{efetivo}} = \frac{L^2}{2mr^2} + V(r)$$

$$\int_{R_0}^R \frac{dr}{\sqrt{E - V(r) - \frac{L^2}{2mr^2}}} = \sqrt{\frac{2}{m}}(t - t_0) \quad \dot{\theta} = \frac{L}{mr^2}$$

$$\frac{d^2u}{d\theta^2} + u = -\frac{m}{L^2u^2}F(1/u), \quad u = \frac{1}{r}; \quad \left(\frac{du}{d\theta}\right)^2 + u^2 = \frac{2m}{L^2}[E - V(1/u)]$$

$$\frac{d}{dt} \left(\frac{\partial L}{\partial \dot{q}_k} \right) - \frac{\partial L}{\partial q_k} = 0, \quad L = T - V \quad \frac{d}{dt} \left(\frac{\partial T}{\partial \dot{q}_k} \right) - \frac{\partial T}{\partial q_k} = Q_k$$

$$Q_k = \sum_{i=1}^N F_{ix} \frac{\partial x_i}{\partial q_k} + F_{iy} \frac{\partial y_i}{\partial q_k} + F_{iz} \frac{\partial z_i}{\partial q_k} \quad Q_k = -\frac{\partial V}{\partial q_k}$$

$$\left(\frac{d^2r}{dt^2} \right)_{\text{rotação}} = \left(\frac{d^2r}{dt^2} \right)_{\text{fixo}} - 2\boldsymbol{\omega} \times \mathbf{v}' - \boldsymbol{\omega} \times (\boldsymbol{\omega} \times \mathbf{r}) - \dot{\boldsymbol{\omega}} \times \mathbf{r}$$

$$H = \sum_{k=1}^f p_k \dot{q}_k - L; \quad \dot{q}_k = \frac{\partial H}{\partial p_k}; \quad \dot{p}_k = -\frac{\partial H}{\partial q_k}; \quad \frac{\partial H}{\partial t} = -\frac{\partial L}{\partial t}$$

Eletromagnetismo

$$\oint \mathbf{E} \cdot d\vec{\ell} + \frac{\partial}{\partial t} \int \mathbf{B} \cdot d\mathbf{S} = 0 \quad \nabla \times \mathbf{E} + \frac{\partial \mathbf{B}}{\partial t} = 0$$

$$\oint \mathbf{B} \cdot d\mathbf{S} = 0 \quad \nabla \cdot \mathbf{B} = 0$$

$$\oint \mathbf{D} \cdot d\mathbf{S} = Q = \int \rho dV \quad \nabla \cdot \mathbf{D} = \rho$$

$$\oint \mathbf{H} \cdot d\vec{\ell} - \frac{\partial}{\partial t} \int \mathbf{D} \cdot d\mathbf{S} = I = \int \mathbf{J} \cdot d\mathbf{S} \quad \nabla \times \mathbf{H} - \frac{\partial \mathbf{D}}{\partial t} = \mathbf{J}$$

$$\mathbf{D} = \epsilon_0 \mathbf{E} + \mathbf{P} = \epsilon \mathbf{E}$$

$$\mathbf{B} = \mu_0 (\mathbf{H} + \mathbf{M}) = \mu \mathbf{H}$$

$$\oint \mathbf{P} \cdot d\mathbf{S} = -Q_P \quad \nabla \cdot \mathbf{P} = -\rho_P \quad \oint \mathbf{M} \cdot d\vec{\ell} = I_M \quad \nabla \times \mathbf{M} = \mathbf{J}_M$$

$$V = - \int \mathbf{E} \cdot d\vec{\ell} \quad \mathbf{E} = -\nabla V \quad d\mathbf{H} = \frac{I d\vec{\ell} \times \hat{\mathbf{e}}_r}{4\pi r^2} \quad \mathbf{B} = \nabla \times \mathbf{A}$$

$$d\mathbf{E} = \frac{1}{4\pi\epsilon_0} \frac{dQ}{r^2} \hat{\mathbf{e}}_r \quad dV = \frac{1}{4\pi\epsilon_0} \frac{dQ}{r} \quad \mathbf{F} = q(\mathbf{E} + \mathbf{v} \times \mathbf{B}) \quad d\mathbf{F} = I d\vec{\ell} \times \mathbf{B}$$

$$\mathbf{J} = \sigma \mathbf{E} \quad \nabla \cdot \mathbf{J} + \frac{\partial \rho}{\partial t} = 0$$

$$u = \frac{1}{2} (\mathbf{D} \cdot \mathbf{E} + \mathbf{B} \cdot \mathbf{H}) \quad \mathbf{S} = \mathbf{E} \times \mathbf{H} \quad \mathbf{A} = \frac{\mu_0}{4\pi} \int \frac{\mathbf{J} dV}{r}$$

$$(\rho = 0, \mathbf{J} = \mathbf{0}) \Rightarrow \nabla^2 \mathbf{E} = \mu \epsilon \frac{\partial^2 \mathbf{E}}{\partial t^2} \quad n_1 \sin \theta_1 = n_2 \sin \theta_2$$

$$\mathbf{F} = \frac{1}{4\pi\epsilon_0} \frac{qQ}{r^2} \hat{\mathbf{e}}_r \quad U = \frac{1}{4\pi\epsilon_0} \frac{qQ}{r} \quad \mathbf{E} = \frac{1}{4\pi\epsilon_0} \frac{Q}{r^2} \hat{\mathbf{e}}_r \quad V = \frac{1}{4\pi\epsilon_0} \frac{Q}{r}$$

Relatividade

$$\gamma = \frac{1}{\sqrt{1 - V^2/c^2}} \quad x' = \gamma(x - Vt) \quad t' = \gamma(t - Vx/c^2)$$

$$v'_x = \frac{v_x - V}{1 - Vv_x/c^2} \quad v'_y = \frac{v_y}{\gamma(1 - Vv_x/c^2)} \quad v'_z = \frac{v_z}{\gamma(1 - Vv_x/c^2)}$$

$$E = mc^2 = \gamma m_0 c^2 = m_0 c^2 + K \quad E = \sqrt{(pc)^2 + (m_0 c^2)^2}$$

Mecânica Quântica

$$i\hbar \frac{\partial \Psi(x,t)}{\partial t} = H\Psi(x,t)$$

$$H = \frac{-\hbar^2}{2m}\frac{1}{r}\frac{\partial^2}{\partial r^2}r + \frac{\hat{L}^2}{2mr^2} + V(r)$$

$$p_x=\frac{\hbar}{i}\frac{\partial}{\partial x}$$

$$[x,p_x]=i\hbar$$

$$\hat{a}=\sqrt{\frac{m\omega}{2\hbar}}\left(\hat{x}+i\frac{\hat{p}}{m\omega}\right)$$

$$\hat{a}|n\rangle=\sqrt{n}|n-1\rangle~,~~~~~\hat{a}^\dagger|n\rangle=\sqrt{n+1}|n+1\rangle$$

$$L_\pm=L_x\pm i L_y$$

$$L_\pm Y_{\ell m}(\theta,\varphi)=\hbar\sqrt{l(l+1)-m(m\pm 1)}~Y_{\ell m\pm 1}(\theta,\varphi)$$

$$L_z=x\,p_y-y\,p_x$$

$$L_z=\frac{\hbar}{i}\frac{\partial}{\partial\varphi}~,~~~~~[L_x,L_y]=i\hbar L_z$$

$$E_n^{(1)}=\langle n|\delta H|n\rangle$$
$$E_n^{(2)}=\sum_{m\neq n}\frac{\left|\langle m|\delta H|n\rangle\right|^2}{E_n^{(0)}-E_m^{(0)}}~,~~~~~\phi_n^{(1)}=\sum_{m\neq n}\frac{\langle m|\delta H|n\rangle}{E_n^{(0)}-E_m^{(0)}}\phi_m^{(0)}$$

$$\hat{\mathbf{S}}=\frac{\hbar}{2}\vec{\sigma}$$
$$\sigma_x=\begin{pmatrix}0&1\\1&0\end{pmatrix}~,~~\sigma_y=\begin{pmatrix}0&-i\\i&0\end{pmatrix}~,~~\sigma_z=\begin{pmatrix}1&0\\0&-1\end{pmatrix}$$

$$\bar{\psi}(\vec{p})=\frac{1}{(2\pi\hbar)^{3/2}}\int d^3r\,e^{-i\vec{p}\cdot\vec{r}/\hbar}\psi(\vec{r})$$
$$\psi(\vec{r})=\frac{1}{(2\pi\hbar)^{3/2}}\int d^3p\,e^{i\vec{p}\cdot\vec{r}/\hbar}\bar{\psi}(\vec{p})$$

Física Moderna

$$p=\frac{h}{\lambda}$$

$$E=\hbar\nu=\frac{hc}{\lambda}$$

$$E_n=-Z^2\,\frac{hcR_H}{n^2}$$

$$R_T=\sigma T^4$$

$$\lambda_{\max}T=b$$

$$L=mv r=n\hbar$$

$$\lambda'-\lambda=\frac{h}{m_0c}(1-\cos\theta)$$

$$n\lambda=2d\sin\theta$$

$$\Delta x~\Delta p\geq\hbar/2$$

Termodinâmica e Mecânica Estatística

$$dU = dQ - dW$$

$$dU = TdS - pdV + \mu dN$$

$$dF = -SdT - pdV + \mu dN$$

$$dH = TdS + Vdp + \mu dN$$

$$dG = -SdT + Vdp + \mu dN$$

$$d\Phi = -SdT - pdV - Nd\mu$$

$$F = U - TS$$

$$G = F + pV$$

$$H = U + pV$$

$$\Phi = F - \mu N$$

$$\left(\frac{\partial T}{\partial V}\right)_S = - \left(\frac{\partial p}{\partial S}\right)_V \quad \left(\frac{\partial S}{\partial V}\right)_T = \left(\frac{\partial p}{\partial T}\right)_V$$

$$\left(\frac{\partial T}{\partial p}\right)_S = \left(\frac{\partial V}{\partial S}\right)_p \quad \left(\frac{\partial S}{\partial p}\right)_T = - \left(\frac{\partial V}{\partial T}\right)_p$$

$$p = - \left(\frac{\partial F}{\partial V}\right)_T \quad S = - \left(\frac{\partial F}{\partial T}\right)_V$$

$$C_V = \left(\frac{\partial U}{\partial T}\right)_V = T \left(\frac{\partial S}{\partial T}\right)_V \quad C_p = \left(\frac{\partial H}{\partial T}\right)_p = T \left(\frac{\partial S}{\partial T}\right)_p$$

$$\text{Gás ideal:} \quad pV = nRT, \quad U = ncT, \quad pV^\gamma = \text{const.}, \quad \gamma = (c + R)/c$$

$$S = k_B \ln W$$

$$Z = \sum_n e^{-\beta E_n} \quad Z = \int d\gamma e^{-\beta E(\gamma)} \quad \beta = 1/k_B T$$

$$F = -k_B T \ln Z$$

$$U = -\frac{\partial}{\partial \beta} \ln Z$$

$$\Xi = \sum_N Z_N e^{\beta \mu N}$$

$$\Phi = -k_B T \ln \Xi$$

$$f_{\text{FD}} = \frac{1}{e^{\beta(\epsilon - \mu)} + 1}$$

$$f_{\text{BE}} = \frac{1}{e^{\beta(\epsilon - \mu)} - 1}$$

Resultados matemáticos

$$\int_{-\infty}^{\infty} x^{2n} e^{-\alpha x^2} dx = \frac{1 \cdot 3 \cdot 5 \dots (2n+1)}{(2n+1) 2^n \alpha^n} \left(\frac{\pi}{\alpha} \right)^{\frac{1}{2}}$$

$$\sum_{k=0}^{\infty} x^k = \frac{1}{1-x} \quad (|x| < 1)$$

$$\int \frac{du}{u(u-1)} = \ln(1-1/u)$$

$$e^{i\theta} = \cos \theta + i \sin \theta$$

$$\int \frac{dz}{(a^2 + z^2)^{1/2}} = \ln \left(z + \sqrt{z^2 + a^2} \right) \qquad \qquad \ln N! \approx N \ln N - N$$

$$\int \frac{du}{1-u^2} = \frac{1}{2} \ln \left(\frac{1+u}{1-u} \right)$$

$$\int_{-\infty}^{\infty} \exp(-\alpha t^2) dt = \sqrt{\frac{\pi}{\alpha}}$$

$$\int \frac{1}{a^2 + y^2} dy = \frac{1}{a} \arctan \frac{y}{a} \qquad \qquad \int \frac{x}{a^2 + x^2} dx = \frac{1}{2} \ln(a^2 + x^2)$$

$$\int_0^{\infty} \frac{z^{x-1}}{e^z + 1} dz = (1 - 2^{1-x}) \Gamma(x) \zeta(x) \quad (x > 0)$$

$$\int_0^{\infty} \frac{z^{x-1}}{e^z - 1} dz = \Gamma(x) \zeta(x) \quad (x > 1)$$

$$\Gamma(2) = 1 \quad \Gamma(3) = 2 \quad \Gamma(4) = 6 \quad \Gamma(5) = 24$$

$$\zeta(2) = \frac{\pi^2}{6} = 1,645 \quad \zeta(3) = 1,202 \quad \zeta(4) = \frac{\pi^4}{90} = 1,082 \quad \zeta(5) = 1,037$$

$$\int_{-\pi}^{\pi} \sin(mx) \sin(nx) dx = \pi \delta_{m,n} \qquad \qquad \int_{-\pi}^{\pi} \cos(mx) \cos(nx) dx = \pi \delta_{m,n}$$

$$dx dy dz = \rho d\rho d\phi dz \qquad \qquad dx dy dz = r^2 dr \sin \theta d\theta d\phi$$

$$Y_{0,0} = \sqrt{\frac{1}{4\pi}} \qquad \qquad Y_{1,0} = \sqrt{\frac{3}{4\pi}} \cos \theta \qquad \qquad Y_{1,\pm 1} = \mp \sqrt{\frac{3}{8\pi}} \sin \theta e^{\pm i\phi}$$

$$Y_{2,0} = \sqrt{\frac{5}{16\pi}} (3 \cos^2 \theta - 1) \quad Y_{2,\pm 1} = \mp \sqrt{\frac{15}{8\pi}} \sin \theta \cos \theta e^{\pm i\phi} \quad Y_{2,\pm 2} = \mp \sqrt{\frac{15}{32\pi}} \sin^2 \theta e^{\pm 2i\phi}$$

$$P_0(x) = 1 \qquad \qquad P_1(x) = x \qquad \qquad P_2(x) = (3x^2 - 1)/2$$

Solução geral para a equação de Laplace em coordenadas esféricas, com simetria azimutal:

$$V(r,\theta) = \sum_{l=0}^{\infty} \left(A_l r^l + \frac{B_l}{r^{l+1}} \right) P_l(\cos \theta)$$

$$\oint \mathbf{A} \cdot d\mathbf{S} = \int (\nabla \cdot \mathbf{A}) dV \quad \oint \mathbf{A} \cdot d\vec{\ell} = \int (\nabla \times \mathbf{A}) \cdot d\mathbf{S}$$

Coordenadas cartesianas

$$\nabla \cdot \mathbf{A} = \frac{\partial A_x}{\partial x} + \frac{\partial A_y}{\partial y} + \frac{\partial A_z}{\partial z}$$

$$\nabla \times \mathbf{A} = \left(\frac{\partial A_z}{\partial y} - \frac{\partial A_y}{\partial z} \right) \hat{\mathbf{e}}_x + \left(\frac{\partial A_x}{\partial z} - \frac{\partial A_z}{\partial x} \right) \hat{\mathbf{e}}_y + \left(\frac{\partial A_y}{\partial x} - \frac{\partial A_x}{\partial y} \right) \hat{\mathbf{e}}_z$$

$$\nabla f = \frac{\partial f}{\partial x} \hat{\mathbf{e}}_x + \frac{\partial f}{\partial y} \hat{\mathbf{e}}_y + \frac{\partial f}{\partial z} \hat{\mathbf{e}}_z \quad \nabla^2 f = \frac{\partial^2 f}{\partial x^2} + \frac{\partial^2 f}{\partial y^2} + \frac{\partial^2 f}{\partial z^2}$$

Coordenadas cilíndricas

$$\nabla \cdot \mathbf{A} = \frac{1}{\rho} \frac{\partial(\rho A_\rho)}{\partial \rho} + \frac{1}{\rho} \frac{\partial A_\varphi}{\partial \varphi} + \frac{\partial A_z}{\partial z}$$

$$\nabla \times \mathbf{A} = \left[\frac{1}{\rho} \frac{\partial A_z}{\partial \varphi} - \frac{\partial A_\varphi}{\partial z} \right] \hat{\mathbf{e}}_\rho + \left[\frac{\partial A_\rho}{\partial z} - \frac{\partial A_z}{\partial \rho} \right] \hat{\mathbf{e}}_\varphi + \left[\frac{1}{\rho} \frac{\partial(\rho A_\varphi)}{\partial \rho} - \frac{1}{\rho} \frac{\partial A_\rho}{\partial \varphi} \right] \hat{\mathbf{e}}_z$$

$$\nabla f = \frac{\partial f}{\partial \rho} \hat{\mathbf{e}}_\rho + \frac{1}{\rho} \frac{\partial f}{\partial \varphi} \hat{\mathbf{e}}_\varphi + \frac{\partial f}{\partial z} \hat{\mathbf{e}}_z \quad \nabla^2 f = \frac{1}{\rho} \frac{\partial}{\partial \rho} \left(\rho \frac{\partial f}{\partial \rho} \right) + \frac{1}{\rho^2} \frac{\partial^2 f}{\partial \varphi^2} + \frac{\partial^2 f}{\partial z^2}$$

Coordenadas esféricas

$$\nabla \cdot \mathbf{A} = \frac{1}{r^2} \frac{\partial(r^2 A_r)}{\partial r} + \frac{1}{r \sin \theta} \frac{\partial(\sin \theta A_\theta)}{\partial \theta} + \frac{1}{r \sin \theta} \frac{\partial(A_\varphi)}{\partial \varphi}$$

$$\nabla \times \mathbf{A} = \left[\frac{1}{r \sin \theta} \frac{\partial(\sin \theta A_\varphi)}{\partial \theta} - \frac{1}{r \sin \theta} \frac{\partial A_\theta}{\partial \varphi} \right] \hat{\mathbf{e}}_r$$

$$+ \left[\frac{1}{r \sin \theta} \frac{\partial A_r}{\partial \varphi} - \frac{1}{r} \frac{\partial(r A_\varphi)}{\partial r} \right] \hat{\mathbf{e}}_\theta + \left[\frac{1}{r} \frac{\partial(r A_\theta)}{\partial r} - \frac{1}{r} \frac{\partial A_r}{\partial \theta} \right] \hat{\mathbf{e}}_\varphi$$

$$\nabla f = \frac{\partial f}{\partial r} \hat{\mathbf{e}}_r + \frac{1}{r} \frac{\partial f}{\partial \theta} \hat{\mathbf{e}}_\theta + \frac{1}{r \sin \theta} \frac{\partial f}{\partial \varphi} \hat{\mathbf{e}}_\varphi$$

$$\nabla^2 f = \frac{1}{r^2} \frac{\partial}{\partial r} \left(r^2 \frac{\partial f}{\partial r} \right) + \frac{1}{r^2 \sin \theta} \frac{\partial}{\partial \theta} \left(\sin \theta \frac{\partial f}{\partial \theta} \right) + \frac{1}{r^2 \sin^2 \theta} \frac{\partial^2 f}{\partial \varphi^2}$$